



DEPARTAMENTO
DE COMPUTACION

Facultad de Ciencias Exactas y Naturales - UBA

Primer parcial

29 de octubre de 2015

Algoritmos y Estructuras de Datos Avanzadas

Alumno	LU	Correo electrónico
Vileriño, Silvio	106/12	svilerino@gmail.com

Docente	Nota



Facultad de Ciencias Exactas y Naturales
Universidad de Buenos Aires

Ciudad Universitaria - (Pabellón I/Planta Baja)

Intendente Güiraldes 2160 - C1428EGA

Ciudad Autónoma de Buenos Aires - Rep. Argentina

Tel/Fax: (54 11) 4576-3359

<http://www.fcen.uba.ar>

Índice

1. Ejercicio 1	2
1.1. Item a)	2
1.2. Item b)	3
2. Ejercicio 2	5
2.1. Item a)	5
2.2. Item b)	5
3. Ejercicio 3	6
3.1. Item a)	6
3.2. Item b)	8

1. Ejercicio 1

1.1. Item a)

Idea de la demostración: Supongamos que sabemos convertir una instancia de set-cover en una instancia de clique transversal sobre grafo split, que una solución a CT sobre dicho grafo contiene solamente nodos de la parte clique del grafo split y que se puede convertir a una solución de la instancia set-cover asociada al grafo.

De esta forma, si existiera un algoritmo α – *aproximado* podríamos resolver set-cover con el, lo cual es absurdo ya que set-cover no es α – *aproximable*¹.

Veamos que contiene una instancia I_{sc} de set cover:

- Sea un universo de elementos $U = \{e_1, \dots, e_m\}$
- Sea $S = \{S_1, \dots, S_n\}$ un conjunto tal que $S_i \subseteq U$ y además $\bigcup_{s_i \in S} s_i = U$

Nuestro objetivo es convertir I_{sc} en un grafo split².

Consideremos el siguiente grafo basado en una instancia I_{sc} de Set Cover:

- Sea $G = (V, E)$ un grafo split, donde $V = V_{indep} \dot{\cup} V_{clique}$.
- Sean los nodos de V_{indep} una biyección con los elementos del universo U de Set Cover.
- Sean los nodos de V_{clique} una biyección con los elementos del conjunto S de Set Cover.
- Las aristas del grafo G son:
 - Sean $v \in V_{indep}$, $w \in V_{clique}$, existe la arista $(v, w) \in E$ si y solo si $v \in w$ en el contexto de elementos de Set Cover³.
 - Se clausuran las aristas de la parte clique del grafo split para que, justamente sea una clique respetando la definición de grafo split.
- En nuestro caso, ya que los elementos del universo U están cubiertos por la unión de los elementos de S , no habrá nodos aislados en V_{indep}

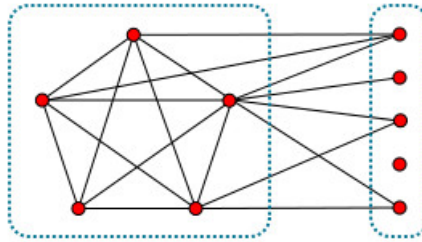


Figura 1: Ejemplo de grafo split.

Proposición 1. Sea CT_{opt} un clique transversal mínimo sobre un grafo split $G = (V, E)$, de cardinal L , se puede construir una nueva solución CT'_{opt} de mismo cardinal, pero solo conteniendo nodos de V_{clique} . De ahora en más, asumimos soluciones de estas características para el resto de la demostración.

¹Lo vimos en clase.

²https://en.wikipedia.org/wiki/Split_graph

³Es decir, el elemento $v \in U$ está en el conjunto $w \in S$ o análogamente $w \in S$ contiene al elemento $v \in U$

Demostración. Sea $I = V_{indep} \cap CT_{opt}$, puede verse que ningún par de nodos $v, w \in I$ tienen un vecino en común, caso contrario podrían removerse v, w y agregarse dicho vecino en común a la solución, produciendo un clique transversal de menor cardinal, lo que es absurdo, pues dijimos que tenía cardinal mínimo.

Por otra parte, ningún nodo $v \in I$ tiene por vecino a un nodo $w \in CT_{opt}$, de lo contrario, podría removerse v de CT_{opt} y lograr nuevamente una solución de cardinal menor al mínimo, cometiendo un absurdo. Dadas estas últimas dos afirmaciones, proponemos el siguiente método para generar una solución CT'_{opt} de mismo cardinal conteniendo solo nodos de V_{clique} :

```

 $CT'_{opt} \leftarrow CT_{opt}$ 
 $I \leftarrow V_{indep} \cap CT_{opt}$ 
for  $v \in I$  do
   $CT'_{opt} \leftarrow \setminus \{v\}$ 
   $CT'_{opt} \leftarrow CT'_{opt} \cup \text{vecino}(v)$ 
end for

```

Veamos que además, la función $\text{vecino}(v)$, que devuelve cualquier vecino de $v \in I$ no se define, pues v no puede ser un nodo aislado al pertenecer a la solución CT_{opt} .

Finalmente, consideremos $w = \text{vecino}(v)$. Como G es un grafo split, y $v \in I \subseteq V_{indep}$, necesariamente debe ser $w \in V_{clique}$.

Al finalizar el algoritmo, CT'_{opt} tiene mismo cardinal que CT_{opt} y además solo contiene nodos $t \in V_{clique}$ como queríamos. \square

Proposición 2. *Considerando en el contexto de set cover: Los conjuntos denotados por los nodos de la solución de $CT_{opt} \subseteq V_{clique}$, constituyen una solución mínima para Set Cover.*

Demostración. Sea CT_{opt} una solución mínima para clique transversal sobre este grafo G que armamos en base a I_{SC} . Sea SC_{opt} una solución mínima de Set Cover para la instancia I_{SC} de **cardinal menor** a CT_{opt} .

Consideremos V_{SC} los nodos del grafo split asociados a los elementos de SC_{opt} . Como la solución de set cover cubre todo el universo, en contexto del grafo G , todos los nodos de V_{indep} serán adyacentes con alguno de V_{SC} .

Por otro lado, al considerar que $V_{SC} \subseteq V_{clique}$, se observa que todos los nodos en este conjunto son adyacentes con todo el resto de los nodos de V_{clique} . Pero entonces esto me indica que existe un conjunto de nodos que cubre todas las cliques de G , constituyendo una solución para CT de cardinal menor al mínimo, lo cual es absurdo.

En definitiva, tomando -en el contexto de set cover-, los conjuntos denotados por los nodos de la solución de $CT_{opt} \in V_{clique}$, esto constituye una solución mínima para Set cover. \square

Para concluir, usando todo lo anterior, si existieran algoritmos α -aproximados para resolver clique transversal, sería fácil resolver set cover de forma α -aproximada, lo cual es absurdo.

1.2. Item b)

La idea de esta demostración consiste en reducir el problema a una instancia de set cover, y aprovechar que la frecuencia de aparición de los elementos está acotada por 4 para aplicar un algoritmo 4-aproximado sobre set cover.

Proposición 3. *Dado un problema Set-Cover donde cada elemento tiene frecuencia de aparición en conjuntos distintos no mayor a 4, entonces existe un algoritmo polinomial 4-aproximable.⁴*

Proposición 4. *Dado un grafo planar $G = (V, E)$, este grafo es k_5 -free, con lo cual a lo sumo tiene k_4 's. Podemos, por fuerza bruta, listar en $\mathcal{O}(n^4)$ todas las cliques maximales de tamaño 4,*

⁴Hochbaum. Approximation Algorithms for the Set Covering and Vertex Cover problems.

asimismo, buscar las cliques maximales de tamaño 3 en $\mathcal{O}(n^3)$ sobre los nodos que no esten en ningun k_4 de los listados anteriormente. Asi sucesivamente, podemos en $\mathcal{O}(n^4)$ listar todas las cliques maximales de un grafo planar.

Proposición 5. Dado un grafo planar $G = (V, E)$ y una funcion $f : V \rightarrow \mathbb{R}$ de pesos en los nodos, podemos convertirlo mediante una transformacion polinomial en una instancia del problema Set-Cover. Dado que un grafo planar es k_5 -free⁵, al aplicar nuestra transformacion, la frecuencia de aparicion de elementos en conjuntos de la instancia de set cover resultante sera no mayor a 4, existiendo asi por la proposicion anterior un algoritmo polinomial 4-aproximable.

Consideremos una instancia I_{sc} de set cover:

- Sea un universo de elementos $U = \{e_1, \dots, e_m\}$
- Sea $S = \{S_1, \dots, S_n\}$ un conjunto tal que $S_i \subseteq U$ y además $\bigcup_{s_i \in S} s_i = U$
- Sea $g : S \rightarrow \mathbb{R}_{\geq 0}$ una funcion de peso sobre los conjuntos de S.

Establezcamos un mapeo entre el grafo G y sus cliques maximales y una instancia de set cover:

- Para cada clique del grafo, insertamos un elemento en el universo U.
- Para cada nodo $v \in V$ no aislado del grafo G:
 1. Creamos un conjunto c tal que $g(c) = f(c)$
 2. Agregamos a este conjunto c todos los elementos que denotan cliques tal que tengan interseccion con v .
 3. Agregamos c a S.

Dada esta transformacion, como G es planar⁶, cada elemento va a estar en como maximo 4 conjuntos.

Recopilemos lo que dijimos hasta ahora: Podemos en tiempo polinomial, tomar un grafo planar G, calcular todas sus cliques y convertirlo en una instancia de Set-Cover con frecuencia de aparicion de elementos en conjuntos no mayor a 4. Por la proposicion que vimos mas arriba, existe un algoritmo polinomial 4-aproximado que resuelve esto. Sea S una solucion generada por dicho algoritmo.

Supongamos que existe un conjunto de nodos T tal que es Clique Transversal de G donde $sum(T) * 4 < sum(S)$ ⁷. Dado esto, nos podemos construir un conjunto R, de elementos, conteniendo todos los conjuntos representados por los nodos de T. Como T tiene⁸ interseccion no vacia con todas las cliques, R contiene a todos los elementos de U. Por otro lado, $sum(R) * 4 < sum(S)$, lo cual es absurdo, ya que $sum(S)$ es menor o igual a $4 * sum(Sol_{opt})$ ⁹ donde Sol_{opt} es una solucion minima a set cover aplicado a G.

De esta forma, presentamos una manera de resolver este problema reduciendolo a un caso de set cover **particular** con un algoritmo 4-aproximable.

⁵Kuratowski

⁶ k_5 -free

⁷ $sum(x)$: Suma todos los pesos de los elementos de x

⁸Por definicion de CT

⁹Dijimos que S venia de un algoritmo 4-aproximado

2. Ejercicio 2

2.1. Item a)

Supongamos que conocemos un algoritmo F_{css} α -aproximado para resolver Circular SuperString(CSS). Ahora consideremos el siguiente algoritmo para obtener soluciones de SuperString(SS) utilizando F_{css} .

Supongamos que conocemos un caracter β que no se encuentra en el alfabeto utilizado para la codificación de las strings de nuestro problema. Sea $S = \{s_1, \dots, s_n\}$ un conjunto strings, entrada del siguiente algoritmo:

1. Para $i \in \{1, \dots, n\}$
 - a) $S' \leftarrow (S \setminus \{s_i\}) \cup \{s'_i\}$ ¹⁰
 - b) $Sol_i = F_{css}(S')$
2. $Sol_m \leftarrow$ una solución Sol_i de mínima longitud, donde $1 \leq i \leq n$.
3. Sea Sol'_m la rotación de Sol_m tal que β es el primer caracter.

Podemos observar que como β solo aparece en el primer caracter de s'_m , ningún otro string $s_k \in S'_m$ con $k \neq m$ puede contener un sufijo que sea prefijo de Sol'_m , ni tampoco s'_m si tiene longitud mayor estricta que uno. Podemos afirmar entonces, que Sol'_m es solución de SuperString para la entrada $S' = (S \setminus \{s_m\}) \cup \{s'_m\}$. Si restauramos el primer caracter de s'_m en Sol'_m , tenemos entonces, una solución de SuperString para el conjunto de entrada S .

Sea S_{opt} la solución mínima de superstring aplicada a una entrada S . Veamos por absurdo, que $|Sol'_m| \leq \alpha * S_{opt}$.

Supongamos que $|Sol'_m| > \alpha * |S_{opt}|$, si cambiamos el primer caracter de S_{opt} por β vamos a haber generado una solución para circular superstring sobre una entrada $S' = (S \setminus \{s_i\}) \cup \{s'_i\}$ para algún $i \in \{1, \dots, n\}$.

Por otro lado, $|Sol_i| > \alpha * |S_{opt}|$, pues $|Sol_i| = |Sol'_m|$, y $|Sol'_m| \leq |Sol_t|$ para t entre 1 y n por haberla elegido mínima.

Finalmente, llegamos a un absurdo, pues Sol_i es una solución obtenida mediante un algoritmo α -aproximado. Por lo tanto debe ser $|Sol'_m| \leq \alpha * |S_{opt}|$, como queríamos ver.

En conclusión, dado un algoritmo α -aproximado para Circular SuperString, podemos conseguir una solución α -aproximada para Super String.

2.2. Item b)

Consideremos opt_{css} una solución óptima de Circular Superstring y opt_{ss} una solución óptima de SuperString para una misma entrada. Asimismo sean opt_{css}^* y opt_{ss}^* las longitudes de las soluciones respectivamente.

Observamos que¹¹:

- opt_{ss} es solución factible de Circular SuperString.

¹⁰Surge de reemplazar el primer caracter de s_i por β , guardando el original para que la transformación sea inversible.

¹¹Aunque no fueran soluciones óptimas también valdría.

- $concat(opt_{css}, opt_{css})$ es solución factible de SuperString.

De esta última observación se desprende la siguiente ecuación:

$$opt_{ss}^* \leq 2 * opt_{css}^* \quad (1)$$

Dicha ecuación es cierta, caso contrario, podríamos encontrar una mejor solución que la óptima. Formalmente: Si $opt_{ss}^* > 2 * opt_{css}^*$, tenemos que $concat(opt_{css}, opt_{css})$ sería una solución mejor que la óptima, lo cual es absurdo.

Sea α un valor positivo, multiplicando por α la ecuación anterior tenemos que:

$$\alpha * opt_{ss}^* \leq (2 * \alpha) * opt_{css}^* \quad (2)$$

Supongamos que tengo un algoritmo $\alpha - aproximado$ para SuperString, voy a obtener una solución $sol_{ss} \leq \alpha * opt_{ss}$, que es factible para Circular SuperString. Luego, por transitividad con la ecuación 2 tenemos que

$$sol_{ss} \leq (2 * \alpha) * opt_{css}^* \quad (3)$$

Con lo cual, encontré mi algoritmo $2 * \alpha - aproximado$ para Circular SuperString.

3. Ejercicio 3

3.1. Item a)

Consideremos la estructura recursiva de este tipo de árboles. Si uno se concentra en la forma que tienen los nodos puede llegar a una recurrencia y luego demostrar que efectivamente el espacio consumido es lineal en la cantidad de elementos del universo del conjunto.

Como puede observarse en la figura 3.1. La estructura recursiva que despliega esta estructura puede caracterizarse con la siguiente recurrencia:

$$P(u) = (\sqrt{u} + 1) * P(\sqrt{u}) + \theta(\sqrt{u}) \quad (4)$$

Esto puede deducirse del hecho de que la estructura de un nodo interno tiene que almacenar $\mathcal{O}(\sqrt{u})$ punteros para el cluster y una cantidad constante de otros atributos o punteros (u, min, max, summary). Por otro lado, los punteros que se derivan de un nodo, apuntan a estructuras de tamaño \sqrt{u} , la cantidad de punteros es $(\sqrt{u} + 1)$. Con lo cual la recurrencia 4 refleja la complejidad espacial asintótica de los árboles Van Emde Boas.

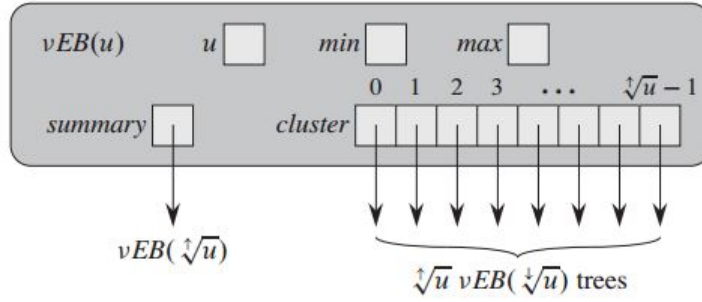


Figure 20.5 The information in a $vEB(u)$ tree when $u > 2$. The structure contains the universe size u , elements min and max , a pointer $summary$ to a $vEB(\sqrt{u})$ tree, and an array $cluster[0 \dots \sqrt{u} - 1]$ of \sqrt{u} pointers to $vEB(\sqrt{u})$ trees.

Figura 2: Estructura vEB - Tomado del Cormen

Proposición 6 (El espacio utilizado por el árbol Van Emde Boas es lineal en la cantidad de elementos del universo de claves).

Demostración. Para probar este resultado mostraremos que la recurrencia mencionada en 4 tiene por solución $\mathcal{O}(u)$. Lo haremos utilizando el teorema maestro.

Nota: No estamos teniendo en cuenta las operaciones de techo y piso sobre la raíz cuadrada, pero esto no modifica el comportamiento asintótico de la recurrencia.

Sea la recurrencia modelo del teorema maestro:

$$P(u) = aP\left(\frac{u}{b}\right) + f(n) \quad (5)$$

Identifiquemos en la ecuación 4 las componentes de la recurrencia genérica:

- Sea $a = (\sqrt{u} + 1)$
- Dado que $\sqrt{u} = \frac{u}{\sqrt{u}}$ luego $b = \sqrt{u}$
- Por último, $f(u) = \sqrt{u} = u^{0.5}$. Por lo tanto $c = 0,5$
- Tenemos $P(u) = (\sqrt{u} + 1)P\left(\frac{u}{\sqrt{u}}\right) + \mathcal{O}(U^{0,5})$

Veamos que aplica el caso 1 del teorema maestro:

- $f(u) \in \mathcal{O}(u^{\frac{1}{2}})$ y $\frac{1}{2} < 1 < \frac{\log_{10}(\sqrt{u}+1)}{\log_{10}(\sqrt{u})} = \log_{(\sqrt{u}+1)}(\sqrt{u})$
- Esta última cota vale porque al ser logaritmo una función creciente $\lim_{x \rightarrow \infty} \frac{\log_{10}(\sqrt{u}+1)}{\log_{10}(\sqrt{u})} = 1$ por derecha.
- En definitiva, al cumplir las hipótesis del caso 1 del teorema maestro: $P(u) \in \mathcal{O}(u)$ como queríamos ver.

□

3.2. Item b)

En la estructura recursiva original vEB de la figura 3.1, se tiene:

- atributos u , \min , \max
- puntero a summary de tipo $vEB(\sqrt{u})$
- \sqrt{u} punteros a estructuras $vEB(\sqrt{u})$
- Notar que los hijos nunca son nulos, es decir, aunque ese cluster este vacío igualmente las estructuras hijo existen. **Esto usa espacio innecesariamente, posiblemente en detrimento de una mayor performance temporal.** Esto puede verse en la figura 3.2

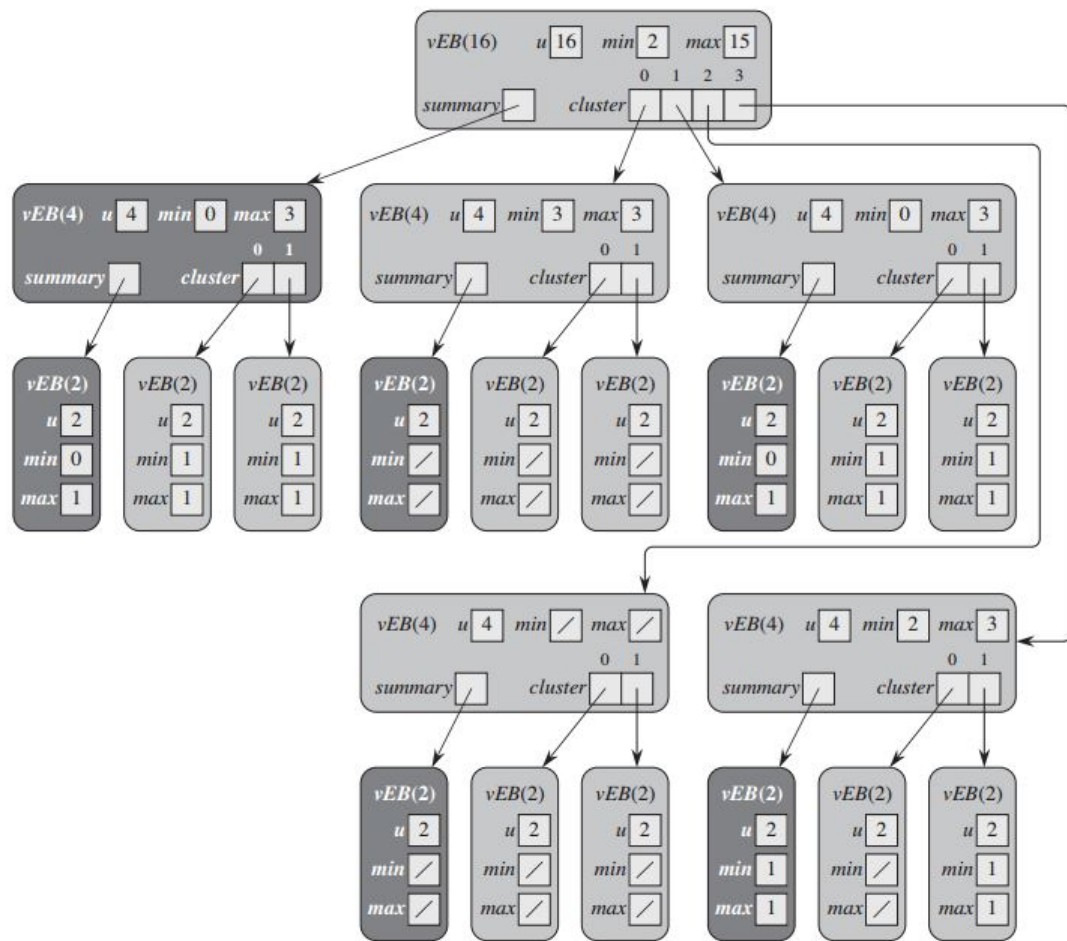


Figure 20.6 A $vEB(16)$ tree corresponding to the proto- vEB tree in Figure 20.4. It stores the set $\{2, 3, 4, 5, 7, 14, 15\}$. Slashes indicate NIL values. The value stored in the \min attribute of a vEB tree does not appear in any of its clusters. Heavy shading serves the same purpose here as in Figure 20.4.

Figura 3: Arbol de ejemplo - Tomado del Cormen

Hagamos algunas modificaciones:

- Modifiquemos la semántica de almacenamiento del `summary`, si este puntero es nulo, indica que todos los clusters están vacíos. Caso contrario, apunta a una estructura vEB de tamaño \sqrt{u} como siempre.
- Consideremos utilizar una tabla dinámica¹² en lugar de un arreglo para almacenar los punteros del cluster de un nodo vEB.
- En esta nueva forma de almacenar el cluster de cada nodo, **solo guardamos los punteros a los clusters hijos no vacíos**, si el elemento i -ésimo no se encuentra en la tabla, corresponde a un cluster vacío.

Con estas modificaciones logramos que en cada nodo vEB tenga una cantidad de hijos proporcional a la cantidad de clusters no vacíos.

La lógica de las operaciones del árbol se ve alterada por este cambio de estructuras de datos, pero no demasiado, pues se puede proveer una interfaz idéntica a la de un vector en la tabla dinámica, con costos probabilísticos iguales a los de un simple arreglo y mantener así las complejidades temporales de las operaciones. **Se debe tener en cuenta que hay que agregar validaciones en casos donde el elemento i -ésimo de la tabla dinámica sea NIL en las recursiones de las operaciones.** Por otro lado hay que verificar los casos donde haya que crear en tiempo real las estructuras hijas que no se encuentren instanciadas, por ejemplo al insertar un nuevo elemento. O el problema análogo de borrar elementos y dejar el árbol con una estructura interna con `summary`'s instanciados para clusters vacíos, en este caso se debe liberar la memoria que ya no se necesita. Por último, asumimos que las llamadas a las funciones de reserva o liberación de memoria toman tiempo constante.

Con esto en mente y utilizando como base el pseudo-código de las operaciones de la bibliografía¹³, observamos que:

- El costo de crear un nuevo vEB Tree vacío con las nuevas reglas es de tiempo constante pues no instancia la estructura completa como en la versión original.
- Las operaciones Mínimo y Máximo quedan sin cambios.
- La operacion Pertenece, ahora utiliza una tabla dinámica en lugar de un arreglo en la llamada recursiva, debería haber una condicion de corte si dicho item es nulo, para no iterar sobre una estructura vacía. La complejidad queda probabilísticamente sin cambios.
- La operacion Sucesor, queda sin cambios, agregando nuevamente validaciones para no hacer recursión en estructuras vacías poniendo condiciones de corte. Nuevamente la complejidad queda probabilísticamente sin cambios respecto al vEB original.
- La operacion Predecesor, casi análoga a Sucesor, considerando que los mínimos no se guardan en clusters, queda con un análisis similar a la operacion Sucesor, que mantiene su complejidad temporal, pero de forma probabilística por las llamadas a operaciones de la tabla dinámica.
- Las operaciones de inserción deben subsanar el hecho de que la estructura interna puede estar incompleta. En particular, **en los casos recursivos** de esta operación donde se inserta el valor correspondiente¹⁴ (llamemos x a este valor) en el árbol, tenemos 2 casos. En lugar de preguntar si el mínimo del cluster apuntado por `high(x)` es NIL, podemos preguntar si existe dicha entrada en la tabla dinámica para saber cual es el caso que corresponde.

¹²Sección 17.4 del Cormen - Podría por ejemplo, considerarse una tabla de hash con funcion de hashing uniforme

¹³Páginas 550-555 del Cormen - Tercera edición

¹⁴Podría intercambiarse con el mínimo actual si el elemento es mas pequeño que el mínimo.

1. El cluster donde se va a insertar x corresponde a un vEB de tamaño mayor que 2 que está vacío¹⁵: Debemos actualizar el resumen y se llama recursivamente para agregar la información del nuevo cluster al resumen. Por otro lado, inicializar el nuevo cluster (**un solo nivel de recursión**) toma tiempo constante y asignar mínimo y máximo también.
2. El cluster donde se va a insertar x corresponde a un vEB de tamaño mayor que 2 no vacío: En este caso el resumen ya contiene la información acerca de este cluster. Así que solo resta insertar el elemento recursivamente. En este caso al estar no vacío, esta llamada no cambia respecto del árbol original.

Notemos que entonces, en la operación de inserción a lo sumo se crean un resumen y n clusters, al tener tablas dinámicas en lugar de arreglos y no tener mas hijos, es decir, instanciar un solo nivel de recursión hacia abajo, la memoria consumida en cada llamada a inserción es a lo sumo $\mathcal{O}(1)$. Totalizando un espacio máximo consumido por inserción de orden $\mathcal{O}(n)$. De esta forma un árbol vacío consume espacio $\mathcal{O}(1)$ y a medida que agregamos elementos, el espacio consumido queda en función de n ^{16 17}

- La operación de borrado debe tener en cuenta la limpieza de la estructura interna en caso que corresponda. Al borrar un elemento, en caso de quedar un cluster vacío, debe liberarse y eliminarse de la tabla dinámica del padre, posteriormente, hay que actualizar el resumen. Asimismo al estar todos los clústeres vacíos, debe liberarse el resumen y marcarse como nulo el puntero del padre. Estas reglas también valen para las estructuras recursivas de los resúmenes.

De esta forma no es necesario tener en memoria un espacio reservado del tamaño del universo de claves, teniendo solo en memoria las estructuras necesarias para la cantidad de elementos actualmente en el conjunto. El costo que se paga en complejidad temporal por esta mejora es que algunas operaciones ahora quedan con complejidades probabilísticas, ya que usan una tabla dinámica, por ejemplo una función de hash con función de hasheo uniforme.

¹⁵Si todos los clústeres estaban vacíos, se crea en tiempo constante **un solo nivel de recursión hacia abajo del resumen** inicializando todos los punteros a NIL y la tabla vacía. Al hacer recursión para actualizar el resumen, al ser una estructura vacía, se actualiza en una sola llamada recursiva.

¹⁶Cantidad de elementos en el árbol

¹⁷Asumiendo limpieza de estructuras innecesarias en borrado